

## Napredne metode digitalne obrade signala

Prof. dr. sc. Damir Seršić  
<http://nmdos.zesoi.fer.hr>

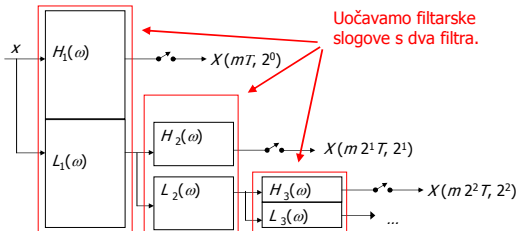
### Teme predavanja

- Motivacija za filtarske slogove.
- Filtarski slog s dva pojasa
  - uvjeti potpune rekonstrukcije,
  - energetski okvir preslikavanja.
- Primjeri:
  - filtri s konačnim impulsnim odzivom,
  - idealni pojasci filtri.
- Decimacija i ekspanzija
  - svojstva u vremenskoj i frekvencijskoj domeni.

2

### Oktavna DWT kao slog filtrara

- Rekurzivna realizacija



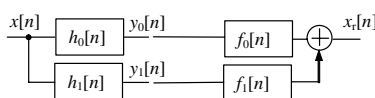
3

### Filtarski slog s dva filtra

- Filtri na prethodnom slajdu su **kontinuirani**, a signal na izlazu je otipkan – diskretiziran.
- Filtri na ovom slajdu su **diskretni**.
- Ovakvim filtarskim slogovima poslužit ćemo se za definiciju DWT vremenski diskretnih signala.
- Sličnim filtarskim slogovima ćemo efikasno realizirati i STFT diskretnih signala.

4

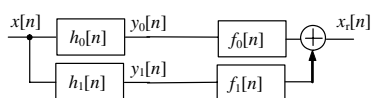
### Filtarski slog s dva pojasa



- Pitanje:
  - da li je moguća potpuna rekonstrukcija signala  $x$  iz komponenti  $y_0$  i  $y_1$ ?
- Pretpostaviti ćemo da se rekonstrukcija može realizirati slogom od dva (nova) filtra.
- Dozvoliti ćemo da rekonstruirani signal kasni u odnosu na ulazni:  $x_r[n] = x[n+L]$ .

5

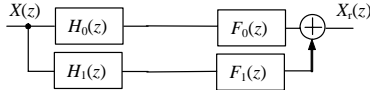
### Filtarski slog s dva pojasa



- Moramo pronaći četvorku filtera za koju vrijedi uvjet potpune rekonstrukcije:  $x_r[n] = x[n+L]$ .
- Napravimo primjer.
- Neka filtri  $h_0, h_1, f_0$  i  $f_1$  imaju svega po 2 uzorka impulsnog odziva.

6

### Primjer potpune rekonstrukcije



- U z-domeni uvjet potpune rekonstrukcije i filtre možemo zapisati ovako:

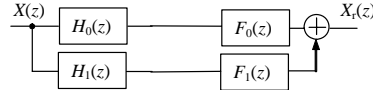
$$X_r(z) = z^{-L} X(z)$$

$$H_0(z) = h_0[0] + h_0[1]z^{-1} \quad F_0(z) = f_0[0] + f_0[1]z^{-1}$$

$$H_1(z) = h_1[0] + h_1[1]z^{-1} \quad H_1(z) = f_1[0] + f_1[1]z^{-1}$$

7

### Primjer potpune rekonstrukcije

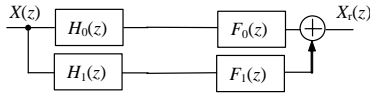


- Ukupna prijenosna funkcija je  $H_0F_0 + H_1F_1$ .
- Kako se radi o filtrima s po dva uzorka, rezultat konvolucije može imati najviše tri.
- Razumno je tražiti rješenje s kašnjenjem L=1.

$$(f_0[0] + f_0[1]z^{-1}) \cdot (h_0[0] + h_0[1]z^{-1}) + (f_1[0] + f_1[1]z^{-1}) \cdot (h_1[0] + h_1[1]z^{-1}) = z^{-1}$$

8

### Primjer potpune rekonstrukcije



$$(f_0[0] + f_0[1]z^{-1}) \cdot (h_0[0] + h_0[1]z^{-1}) + (f_1[0] + f_1[1]z^{-1}) \cdot (h_1[0] + h_1[1]z^{-1}) = z^{-1}$$

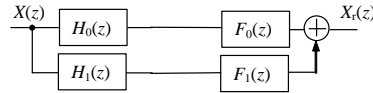
$$f_0[0]h_0[0] + f_1[0]h_1[0] +$$

$$(f_0[1]h_0[0] + f_0[0]h_0[1] + f_1[1]h_1[0] + f_1[0]h_1[1])z^{-1} +$$

$$(f_0[1]h_0[1] + f_1[1]h_1[1])z^{-2} = z^{-1}$$

9

### Primjer potpune rekonstrukcije



- $$f_0[0]h_0[0] + f_1[0]h_1[0] = 0$$
- $$f_0[1]h_0[0] + f_0[0]h_0[1] + f_1[1]h_1[0] + f_1[0]h_1[1] = 1$$
- $$f_0[1]h_0[1] + f_1[1]h_1[1] = 0$$
- Imamo 3 jednadžbe i ukupno 8 nepoznatih parametara.
  - Očito, postoji velika sloboda izbora.

10

### Primjer potpune rekonstrukcije

$$f_0[0]h_0[0] + f_1[0]h_1[0] = 0$$

$$f_0[1]h_0[0] + f_0[0]h_0[1] + f_1[1]h_1[0] + f_1[0]h_1[1] = 1$$

$$f_0[1]h_0[1] + f_1[1]h_1[1] = 0$$

izbor :  $h_0 = \{1, 1\}$ ,  $h_1 = \{1, -1\}$

- $H_0$  je vrlo jednostavan niskopropusni, a  $H_1$  visokopropusni filter.

$$\rightarrow f_0[0] + f_1[0] = 0, \quad f_0[1] - f_1[1] = 0.$$

$$f_0[1] + f_0[0] + f_1[1] - f_1[0] = 1$$

11

### Primjer potpune rekonstrukcije

$$f_0[0] + f_1[0] = 0, \quad f_0[1] - f_1[1] = 0.$$

$$f_0[1] + f_0[0] + f_1[1] - f_1[0] = 1$$

- Imamo 3 jednadžbe s 4 nepoznanice.

- Jedno moguće rješenje:

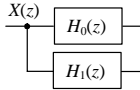
$$f_0 = \left\{ \frac{1}{4}, \frac{1}{4} \right\}, \quad f_1 = \left\{ -\frac{1}{4}, \frac{1}{4} \right\}$$

- Osim navedenog postoji i bezbroj drugih rješenja.

- Koja rješenja **ne bi** dala potpunu rekonstrukciju?

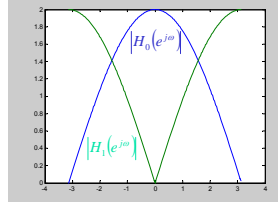
12

## Primjer potpune rekonstrukcije



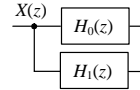
$$H_0(z) = 1 + z^{-1} \quad z = e^{j\omega}$$

$$H_1(z) = 1 - z^{-1}$$



- Za naš izbor pogledat ćemo karakteristike analizirajućih filtera u frekvenčkoj domeni.
- NP filter ima nul-točku za  $\omega = \pm\pi$ , a VP filter za  $\omega = 0$ .

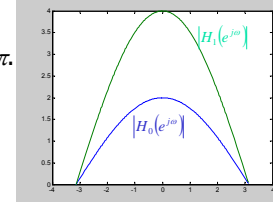
## Nepotpuna rekonstrukcija



$$H_0(z) = 1 + z^{-1}$$

$$H_1(z) = 2 + 2z^{-1}$$

- U ovom primjeru ova dva filtra imaju nul-točku karakteristike za  $\omega = \pm\pi$ .
- Signal  $x[n] = (-1)^n$  preslikava se u  $y_0[n] = y_1[n] = 0$ .
- Rekonstrukcija nije moguća!



## Nepotpuna rekonstrukcija

- Nemogućnost potpune rekonstrukcije je posljedica koincidencije nul-točaka frekvenčne karakteristike filtera u slogu.
- Postoji signal  $x$  konačne energije koji se preslikava u skup signala  $\{y_0, y_1\}$  nulte energije.
- Problem bi nastupio i kada bi neki od filtera imao pol na jediničnoj kružnici; tada bi se signal konačne energije preslikavao u skup signala  $\{y_0, y_1\}$  beskonačne energije.

15

## Energetski okvir preslikavanja

- Diskusija o mogućnosti rekonstrukcije vodi nas na energetski okvir preslikavanja.
  - Energije signala i slike iznose:
- $$\sum_n |x[n]|^2 \quad \sum_n |y_0[n]|^2 + |y_1[n]|^2$$
- U DFT domeni to iznosi:
- $$\frac{1}{N} \sum_k |X[k]|^2 = \frac{1}{N} \sum_k |Y_0[k]|^2 + |Y_1[k]|^2 = \frac{1}{N} \sum_k (|H_0[k]|^2 + |H_1[k]|^2) \cdot |X[k]|^2$$

16

## Energetski okvir preslikavanja

- $\sum_k |X[k]|^2 \xrightarrow{?} \sum_k (|H_0[k]|^2 + |H_1[k]|^2) \cdot |X[k]|^2$
- Vidimo da za svaku frekvenciju  $k$  izraz  $|H_0[k]|^2 + |H_1[k]|^2$
  - određuje omjer energija signala i slike.
  - Izračunajmo izraz za naša dva primjera: s mogućom i nemogućom potpunom rekonstrukcijom.
  - Nacrtajmo rezultat za svaki  $k$  i odredimo energetski raspon (granice A i B).

17

## Energetski okvir preslikavanja

- Lijevo prvi, desno drugi primjer.
- 
- Lijevo:  $A=4, B=4$ ; desno:  $A=0, B=20$ .
  - U prvom primjeru rekonstrukcija je moguća, čak je transformacija uniformna.

18

### Idealni filtri

$X(z)$

$H_0(z)$

$H_1(z)$

$|H_0(e^{j\omega})|$

$|H_1(e^{j\omega})|$

- Neka su  $H_0$  i  $H_1$  idealni NP, odnosno VP filtri preko polovice frekvencijskog raspona.
- Impulsni odziv takvih filtera je beskonačnog trajanja.

19

### Idealni filtri

$X(z)$

$H_0(z)$

$$H_0(e^{j\omega}) = A(e^{j\omega}) \cdot e^{-j\theta(\omega)}$$

$$A(e^{j\omega}) = |H_0(e^{j\omega})|$$

$$= \begin{cases} 1, & |\omega| < \frac{\pi}{2} \\ 0, & \text{otherwise} \end{cases}$$

$\theta(\omega) = K\omega$

$h_0[n] = \frac{1}{2\pi} \int_{-\pi/2}^{\pi/2} e^{-jn\omega} e^{j\omega n} d\omega = \frac{1}{2} \frac{\sin[n-K]\frac{\pi}{2}}{[n-K]\frac{\pi}{2}}$

- Impulsni odziv  $h_0[n]$ :

20

### Idealni filtri

$|H_0(e^{j\omega})|$

- Lijevo: impulsni odziv  $h_0$  za kašnjenje  $K=0$ .

21

### Idealni filtri

$X(z)$

$H_1(z)$

$|H_1(e^{j\omega})|$

- Karakteristika je u odnosu na  $H_0$  pomaknuta za  $\pi$ .
- => množenje s  $e^{j\pi n}$  u vremenu.
- $e^{j\pi n} = \cos(\pi n) = (-1)^n$
- $h_1[n] = \frac{1}{2} \frac{\sin[n-K]\frac{\pi}{2}}{[n-K]\frac{\pi}{2}} \cdot (-1)^n$
- Svaki drugi uzorak promijenio je predznak!

22

### Idealni filtri

$|H_1(e^{j\omega})|$

- Lijevo: impulsni odziv  $h_1$  za kašnjenje  $K=0$ .

23

### Idealni filtri, razlaganje

- Prepostavimo neki spektar  $X$ .

$X$

- Nakon filtriranja idealnim filterima, spektri  $Y_1$  i  $Y_2$  bi i izgledali ovako:

$Y_1$

$Y_2$

24

### Idealni filtri

$X(z)$  enters two parallel paths. The first path contains filter  $H_0(z)$  with output  $Y_0(z)$ . The second path contains filter  $H_1(z)$  with output  $Y_1(z)$ . The outputs  $Y_0(z)$  and  $Y_1(z)$  are summed at a junction to produce  $X_r(z)$ .

Magnitude response plots of  $|H_0(e^{j\omega})|$  and  $|H_1(e^{j\omega})|$  versus frequency  $\omega$ . Both plots show a rectangular pulse centered at zero.

- Za potpunu rekonstrukciju, dovoljno je zbrojiti  $Y_0$  i  $Y_1$ .
- Nul-područje jednog filtra poklapa se s jediničnim pojačanjem drugoga.

25

### Idealni filtri, rekonstrukcija

$X(z)$  enters two parallel paths. The first path contains filter  $H_0(z)$  with output  $F_0(z)$ . The second path contains filter  $H_1(z)$  with output  $F_1(z)$ . The outputs  $F_0(z)$  and  $F_1(z)$  are summed at a junction to produce  $X_r(z)$ .

Magnitude response plots of  $|F_0(e^{j\omega})|$  and  $|F_1(e^{j\omega})|$  versus frequency  $\omega$ . Both plots show a rectangular pulse centered at zero.

- Možemo odabrat i ovakve rekonstrukcijske filtre:
- AF karakteristike su iste, a FF suprotnog predznaka.
- Tad je kašnjenje sloga 0.

### Uvjet potpune rekonstrukcije

$X(z)$  enters two parallel paths. The first path contains filter  $H_0(z)$  with output  $F_0(z)$ . The second path contains filter  $H_1(z)$  with output  $F_1(z)$ . The outputs  $F_0(z)$  and  $F_1(z)$  are summed at a junction. The sum is fed back through a delay block (indicated by a red circle) to the input  $X(z)$ . A red box highlights the feedback loop with the text "Dvostruki broj uzoraka!".

$F_0(z) \cdot H_0(z) + F_1(z) \cdot H_1(z) = z^{-L}$

- Uvjet potpune rekonstrukcije filtarskog sloga bilo je relativno lako osigurati.
- Govorimo o filtarskom slogu **bez decimacije**.
- Signali  $y_1$  i  $y_2$  su istog perioda otiskivanja, odnosno imaju isti broj uzoraka kao  $x$ .
- Preslikavanje je očito **redundantno**.

27

### Oktavna DWT kao slog filtara

#### Rekursivna realizacija

The input signal  $x$  enters a series of stages. Each stage consists of a filter  $H_i(\omega)$  followed by a decimation block  $L_i(\omega)$ . The output of each stage is labeled  $X(mT, 2^i)$ . Red arrows indicate the decimation process from one stage to the next. A red box highlights the decimation process with the text "Uočavamo decimaciju uz sve manji broj uzoraka u višim razinama razlaganja!".

28

### Filtarski slog s decimacijom

The input signal  $x[n]$  enters a parallel structure. The top path contains filter  $h_0[n]$  with output  $v_0$ . The bottom path contains filter  $h_1[n]$  with output  $v_1$ .

- Jednak broj uzoraka slike osigurali bi decimacijom s faktorom 2.
- Decimacija s faktorom 2 znači **odbacivanje** svakog drugog uzorka.
- Da li je i pod takvim uvjetima rekonstrukcija moguća?

29

### Decimator

The input signal  $x[n]$  is processed by a decimator, indicated by a downward arrow. The output is labeled  $v[n]$ .

- U **vremenskoj domeni**:  $v[n] = x[2n]$ .
- Što imamo u **frekvenčkoj domeni**?
- Kreirajmo iz  $x[n]$  pomoći signal  $u[n]$  takav da mu je svaki drugi uzorak nula:

$$u[n] = \begin{cases} x[n] & n \text{ paran}, \\ 0 & n \text{ neparan}. \end{cases}$$

30

## Spektar decimiranog signala

$$u[n] = \begin{cases} x[n] & n \text{ paran}, \\ 0 & n \text{ neparan}. \end{cases}$$

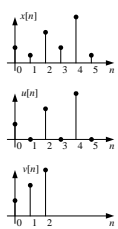
- Spektar takvog signala je:

$$U(e^{j\omega}) = \sum_{n \text{ paran}} x[n] \cdot e^{-jn\omega}$$

Želimo zapisati sumu po **svim**  $n$ .

- Iskoristit ćemo činjenicu:

$$e^{-jn\omega} = \begin{cases} +e^{-j(\omega+\pi)n} & n \text{ paran} \\ -e^{-j(\omega+\pi)n} & n \text{ neparan} \end{cases}$$



31

## Spektar decimiranog signala

$$\sum_{n \text{ paran}} x[n] \cdot e^{-jn\omega} = \frac{1}{2} \sum_n x[n] \cdot e^{-jn\omega} + \frac{1}{2} \sum_n x[n] \cdot e^{-j(\omega+\pi)n}$$

- Članovi uz neparne  $n$  se međusobno dokidaju.

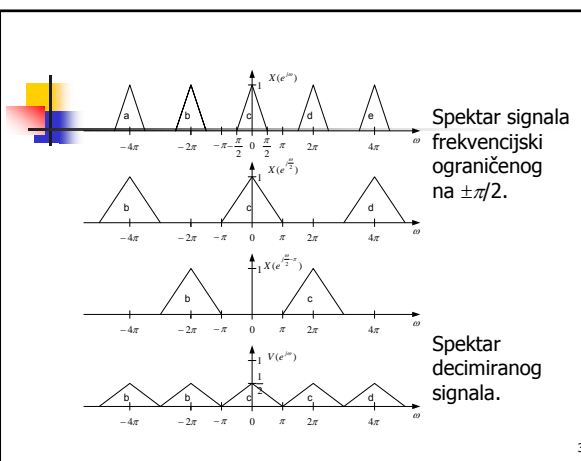
$$U(e^{j\omega}) = \frac{1}{2} [X(e^{j\omega}) + X(e^{j(\omega+\pi)})]$$

- $v[n] = u[2n]$ .

- Kako  $v[n]$  sadrži samo parne uzorke, za spektre vrijedi  $V(\omega) = U(\omega/2)$ :

$$V(e^{j\omega}) = \frac{1}{2} [X(e^{j\omega/2}) + X(e^{j(\omega/2+\pi)})]$$

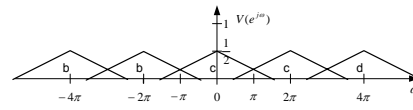
32



33

## Spektar decimiranog signala

- Da signal nije bio frekvencijski ograničen na  $\pm\pi/2$ , decimacija bi osim rastezanja uzrokovala i preklapanje spektara (*eng. aliasing*).



34

## Decimirani signal u Z domeni

- Identičnim postupkom uz zamjenu  $z = e^{j\omega}$  dobivamo sljedeće veze:

$$U(z) = \frac{1}{2} [X(z) + X(ze^{j\pi})] = \frac{1}{2} [X(z) + X(-z)]$$

$$V(z) = U\left(z^{\frac{1}{2}}\right),$$

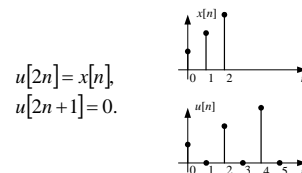
$$V(z) = \frac{1}{2} \left[ X(z^{\frac{1}{2}}) + X(-z^{\frac{1}{2}}) \right]$$

35

## Ekspander

$$x[n] \xrightarrow{\textcircled{+}} u[n]$$

- U **vremenskoj** domeni:



36

## Ekspander



- U frekvenčkoj domeni:

$$\begin{aligned} U(e^{j\omega}) &= \sum u[n] \cdot e^{-jn\omega} = \sum u[2n] \cdot e^{-j\omega 2n} \\ &= \sum x[n] \cdot e^{-j\omega 2n} = X(e^{j2\omega}) \end{aligned}$$

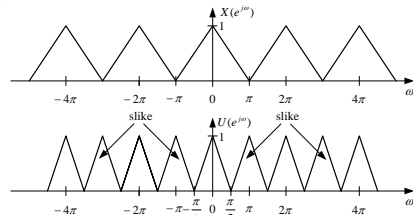
Neparni uzorci su nula.

- Rezultat je stisnuti spektar:      U Z-domeni:

$$U(e^{j\omega}) = X(e^{j2\omega}), \quad U(z) = X(z^2).$$

37

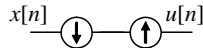
## Ekspander



- Spektar interpoliranog signala se sužio, a period spektra interpoliranog signala je  $\pi$  (ne više  $2\pi$ )!
- Imamo pojavu ponavljajućih "slika" spektra.

38

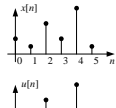
## Decimator + ekspander



- U vremenskoj domeni:  $u[n] = \begin{cases} x[n] & n \text{ paran}, \\ 0 & n \text{ neparan}. \end{cases}$

- Već smo pokazali da je spektar takvog signala:

$$\begin{aligned} U(e^{j\omega}) &= \frac{1}{2} [X(e^{j\omega}) + X(e^{j(\omega+\pi)})], \\ U(z) &= \frac{1}{2} [X(z) + X(-z)]. \end{aligned}$$



39

## Teme predavanja

- Motivacija za filtarske slogove.
- Filtarski slog s dva pojasa
  - uvjeti potpune rekonstrukcije,
  - energetski okvir preslikavanja.
- Primjeri:
  - filtr s konačnim impulsnim odzivom,
  - idealni pojasnji filtri.
- Decimacija i ekspanzija
  - svojstva u vremenskoj i frekvenčkoj domeni.

40